

京都大学大学院 学生員 樋口 徹
 京都大学工学部 正員 越木 勝
 京都大学工学部 正員 白土 博通

京都大学工学部 正員 白石 成人
 阪神高速道路公団 正員 杉山 守久

1 まえおき 空力二次元剛体桁模型バネ支持試験による斜張橋の耐風性評価に際して、実験に要求される質量、質量慣性モーメントは、桁節の単位長さ当りの質量 m 、質量慣性モーメント I_{GP} に着目し、相似条件より算出されている場合が多い。ここでは桁節のみならず塔、ケーブルの振動モードを考慮した等価質量 m_{eq} 、等価質量慣性モーメント I_{eq} の考えを用いることにより、現在計画中の鋼斜張橋、PC斜張橋、複合斜張橋等の形式の異なる斜張橋を対象に m_{eq} 、 I_{eq} を算出し桁節の m 、 I との比較を行うと共に、これら I_{eq} の考え方を適用して PC 箱桁斜張橋のフラッタ特性に振替を加えるものである。

2 等価質量、等価質量慣性モーメント

二次元剛体桁模型バネ支持試験によって斜張橋の桁節の空力特性を明らかにする場合、試験に要求される質量相似条件は、図1に示されるように桁節のみならず塔およびケーブルの質量効果が考慮されなければならない。今、定橋の1次モードに対応する等価質量、等価質量慣性モーメントは、次のように与えられる。

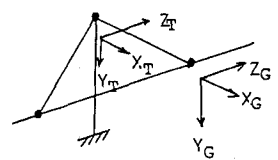


図1 斜張橋モデル (1)

$$m_{eq} = \left\{ \int_0^L m_G M_{z_{ij}}^2(z) dz + \int_0^L m_G A_{z_{ij}}^2 M_{z_{ij}}^2(z) dz + \int_0^L I_{GP} A_{z_{ij}}^2 M_{z_{ij}}^2(z) dz + \int_0^L m_T A_{x_{ij}}^2 M_{x_{ij}}^2(y) dy + \int_0^L m_T A_{z_{ij}}^2 M_{z_{ij}}^2(y) dy + \sum (m_{ci}/2) M_{y_{ij}}^2(z_i) + \sum (m_{ci}/2) A_{z_{ij}}^2 M_{z_{ij}}^2(z_i) + \sum (m_{ci}/2) b^2 A_{y_{ij}}^2 M_{y_{ij}}^2(z_i) + \sum (m_{ci}/2) A_{r_{ij}}^2 M_{r_{ij}}^2(y_i) + \sum (m_{ci}/2) A_{x_{ij}}^2 M_{x_{ij}}^2(y_i) \right\} / \int_0^L M_{z_{ij}}^2(z) dz$$

$$I_{eq} = \left\{ \int_0^L m_G C_{y_{ij}}^2 M_{y_{ij}}^2(z) dz + \int_0^L m_G C_{z_{ij}}^2 M_{z_{ij}}^2(z) dz + \int_0^L I_{GP} M_{z_{ij}}^2(z) dz + \int_0^L m_T C_{x_{ij}}^2 M_{x_{ij}}^2(y) dy + \int_0^L m_T C_{z_{ij}}^2 M_{z_{ij}}^2(y) dy + \sum (m_{ci}/2) C_{y_{ij}}^2 M_{y_{ij}}^2(z_i) + \sum (m_{ci}/2) C_{z_{ij}}^2 M_{z_{ij}}^2(z_i) + \sum (m_{ci}/2) b^2 M_{y_{ij}}^2(z_i) + \sum (m_{ci}/2) C_{r_{ij}}^2 M_{r_{ij}}^2(y_i) + \sum (m_{ci}/2) C_{x_{ij}}^2 M_{x_{ij}}^2(y_i) \right\} / \int_0^L M_{z_{ij}}^2(z) dz$$

上式において、 M, Y, Z, X, T, C はそれぞれ、タワー、ケーブルを意味し i はモード次数を意味する。モード関数 M の最大値はすべて1とし、係数 A, C はそれぞれ桁節 y 方向最大変位量、桁節 z 方向最大変位量と x 方向最大変位量との比である。

これらの式を用いて、現在検討されている鋼斜張橋 (A橋)、PC斜張橋 (B橋)、コンクリート製タワー、鋼桁部を有するいわゆる複合斜張橋 (C橋) について、それぞれの振動モード、質量分布特性を考慮して等価質量、等価質量慣性モーメントを求めれば表1のようになる。この表に示されるように、複合斜張橋の場合桁節に比べ塔の質量が大きいため、桁節の等価質量比 (m_{eq}/m)、および等価質量慣性モーメント比 (I_{eq}/I) は、他の2つに比べて大きくなる。従って塔部質量の桁節への効果大という点では、複合斜張橋は耐風安定性上有利であると言える。

表1 構造諸元および計算例 (t-m) $M_G, M_T; t \text{sec}^2/\text{m}^2$ $I_{GP}; t \text{sec}^2$

	支間長 (m)	M_G	M_T	I_{GP}	断面	形状	M_{eq}/M_G	I_{eq}/I_{GP}
鋼斜張橋	485	2.6	1.7 2.9	137.6			1.02(対1次) 1.04(逆1次)	1.05(対1次) 1.12(逆1次)
PC斜張橋	195	4.3	4.0 23.6	138			1.11(1次)	1.25(15次)
複合斜張橋	200	2.0	1.9 2.5	117.4			1.22(対1次)	1.40(対1次)

3 耐風安定性評価への適用

ここで得られた M_{eq} , I_{eq} を用いて PC 斜張橋 (B 橋) のねじりフラッタ限界風速の評価を行なった。一般に非定常空気力係数 A_i^* は、断面の幾何学的形状によって決定される。一方定橋の浮沈モードにおいてフラッタ開始限界条件を与える A_i^* は式 3 で求められ、 $A_i^* - V_{cr}$ 曲線より概況元フラッタ限界風速が求まり、式 4 より各振動モードにおけるフラッタ限界風速が推定される。

$$A_i^* = \frac{I_{eq} \delta_i}{\pi \rho b^4} \quad (3) \quad V_{cr} = \frac{U}{b \omega_i} \quad (4)$$

B 橋の 2 次および 15 次の振動モード図を図 2 に示す。2 次では桁部比へ、タワーが大きく変形し桁部のねじり変位は小さいが、15 次では桁部は大きくねじれるモードとなっている。 I_{eq} , ω_i は図 3 で示されるようにモード次数により大きく変化する。 I_{eq} は他次モードにおいてかなり大きな値を示している。一方ねじりフラッタ限界風速 V_{cr} は I_{eq} , ω_i (モード別固有振動数) に起因することから、高次にわたる V_{cr} の評価が必要となる。式 3, 式 4 を用いてその V_{cr} を、図 4 に示す実験より得られた非定常空気力係数曲線 ($A_i^* - V_{cr}$) から求めれば表 2 のようになる。表 2 より B 橋の場合 2 次比へ 15 次の方が、 I_{eq} は十分小さく、また非定常空気力係数曲線の特性から推測されるように、15 次の方が V_{cr} 値が小さくなることが見られる。

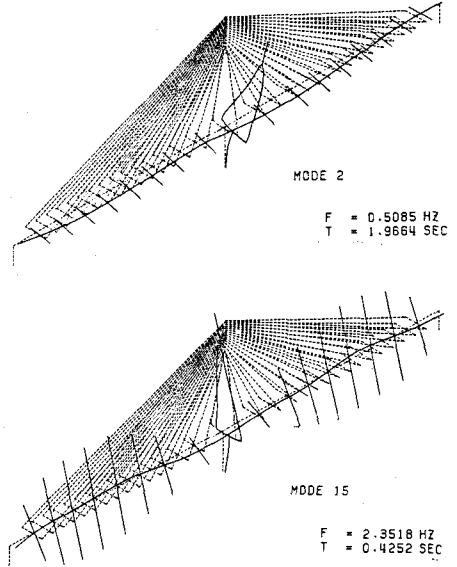


図 2 B 橋振動モード図

表 2 B 橋のフラッタ限界風速推定値

	$I_{eq} \delta_i / \pi \rho b^4$		$V_{cr} (U/fD)$		$U_{pcr} (m/s)$	
	$\delta=0.02$	$\delta=0.04$	$\delta=0.02$	$\delta=0.04$	$\delta=0.02$	$\delta=0.04$
2	88.85	177.7	60	60	80	80
15	0.81	1.62	42	55	270	360

4 あとがき

数値計算例において、等価質量、等価質量慣性モーメントの桁部の質量、質量慣性モーメントからの増加には、タワー変形が最も支配的に寄与しており、計算結果からもいえるようにコンクリート製タワー、鋼桁部を有する複合斜張橋は、他の形式と比較して耐風安定性上、より効率的であろうと考えられる。桁部だけの質量、質量慣性モーメントから斜張橋の耐風安定性の検討と行なう場合、現実とはかけ離れた評価と与える可能性があると言えよう。

参考文献

- 1) 山村信道, 田中洋 “橋梁の二次元風洞実験に適用する複算マスの計算法” 日立造船技報 第 41 巻 3 号
- 2) 京大・橋梁工学研究室 “国島七橋架設時の耐風性に関する研究” その 1/その 2 (1977.3/1978.3)

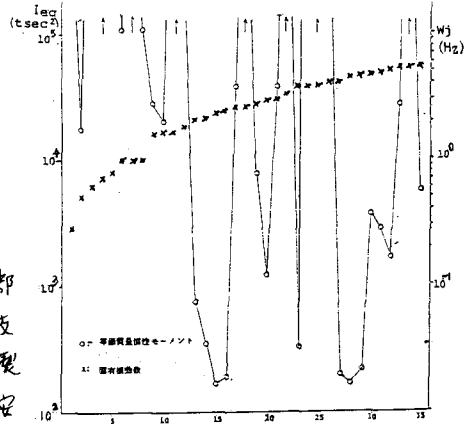


図 3 各振動モードにおける等価質量慣性モーメントおよび固有振動数

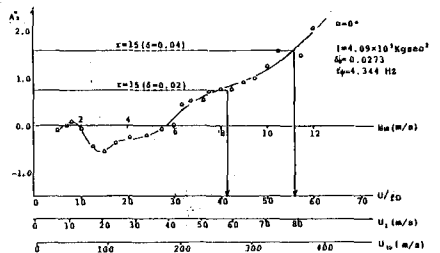


図 4 B 15 の非定常空気力曲線